

И. И. МЕТЕЛИЦЫН

### К ВОПРОСУ О КАЧЕНИИ КОЛЕСА С ЭЛАСТИЧНОЙ ШИНОЙ

(Представлено академиком Л. С. Лейбензоном 25 V 1948)

1. Предположим, что беговая поверхность шины есть поверхность тора (рис. 1). Положение точки на поверхности тора по отношению к осям  $C\xi\eta\zeta$ , жестко связанным с ободом колеса, определяется углами  $\alpha$  и  $\beta$ . Положение тора определяется координатами  $x_c, y_c, z_c$  центра  $C$  и тремя углами  $\psi, \theta, \varphi$ , причем угол  $\varphi$  есть угол поворота осей  $C\xi\eta\zeta$  по отношению к подвижным осям  $Cx_1y_1z_1$  (ось  $Cx_1$  параллельна плоскости  $Oxy$ , ось  $Cy_1$  совпадает с осью  $C\eta$ ) (рис. 2).

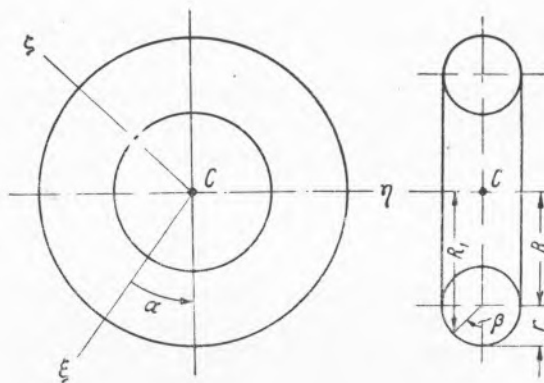


Рис. 1

Если поверхность тора не деформирована, то

$$\beta = \theta, \quad z_c = r + R \cos \theta.$$

2. Под влиянием приложенных сил беговая поверхность шины деформируется; вблизи точки прикосновения поверхности с полотном дороги имеется небольшое смятие, вследствие чего соприкосновение происходит не в одной точке, а по небольшой площадке.

Если даже отвлечься от этого смятия, то все же можно заметить, что беговая поверхность шины не является тором, так как сечения тора плоскостями, проходящими через ось  $C\eta$ , сдвинуты вдоль этой оси, а круговые сечения деформированы.

Можно охарактеризовать деформацию, если задать боковое смещение  $u$  точек беговой поверхности, лежащих до деформации в плоскости  $C\xi\zeta$ , в направлении оси  $C\eta$ ; смещение считается положительным, если оно противоположно оси  $C\eta$ . Допустив, что смещение для точек, близких к этой плоскости, не зависит от  $\beta$ .

При качении колеса смещение  $u$  точки прикосновения изменяется по отношению к осям  $O\xi\eta\zeta$  не только вследствие изменения приложенных сил, но и благодаря вращению осей. Кривые, которые полу-

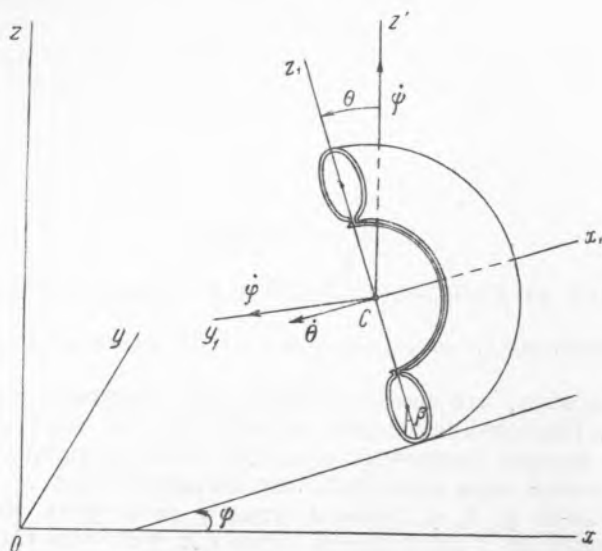


Рис. 2

чаются из круговых сечений  $\beta = \text{const}$  после деформации, назовем «беговыми» кривыми.

3. Если колесо катится без скольжения, то скорость точки  $P$  поверхности, совпадающей с точкой прикосновения, равна нулю. Скорость точки  $P$  складывается из переносной  $\bar{v}_e$  и относительной  $\bar{v}_r$ , причем

$$\bar{v}_e = \bar{v}_c + \bar{\omega} \times \overline{CP}.$$

Изменение смещения  $u$  определяется как изменением формы беговой кривой по отношению к осям  $Cx_1y_1z_1$ , так и смещением точки касания вдоль беговой кривой вследствие поворота колеса (рис. 3); поэтому

$$\bar{v}_r = - \left( \frac{du}{dt} + v\gamma \right) \bar{j}.$$

Первое уравнение кинематической связи имеет вид:

$$\bar{v}_c + \bar{\omega} \times \overline{CP} - \left( \frac{du}{dt} + v\gamma \right) \bar{j} = 0. \quad (2)$$

Если колесо не скользит, то скорости всех точек площадки смятия равны нулю; это можно выразить, приравняв нулю проекции угловой скорости площадки смятия на нормаль к плоскости  $Ox_1y_1$ . Так как угол  $\gamma$  изменяется вместе с изменением формы беговой кривой и, кроме того, от смещения площадки вдоль беговой кривой, то

$$\omega_n - \left( \frac{d\gamma}{dt} + \frac{d\gamma}{ds} v \right) = 0. \quad (3)$$

Здесь  $d\gamma/ds = K$  есть кривизна проекции беговой кривой на касательную плоскость (геодезическая кривизна).

4. Касательные и нормальные реакции полотна дороги приводятся к силе  $\bar{F}(X_1, Y_1, Z_1)$  и к паре с моментом  $\bar{L}$ .

Примем, что боковая реакция  $Y_1$  пропорциональна боковому смещению точки касания

$$Y_1 = -c_1 u, \quad (4)$$

а момент пары трения вращения  $L_n$  пропорционален углу  $\gamma$ ,

$$L_n = -c_2 \gamma. \quad (5)$$

Кривизна  $K$  зависит от закона распределения сил трения по площадке смятия.

Эта зависимость должна быть изучена отдельно.

5. Ниже выписаны уравнения движения центра тяжести колеса в проекциях на ось  $Cx_1$ , на нормаль  $Cz'$  и на ось  $Cy'$ , а также уравнения моментов относительно осей  $Cx_1$ ,  $Cy_1$ ,  $Cz_1$ . Внешние силы (исключая реакцию плоскости) приведены к результирующей силе  $\bar{F}(X_1, Y_1, Z_1)$ , приложенной в центре  $C$ , и к паре с моментом  $\bar{L}_c$ .

Так как уравнения (4) и (5) справедливы лишь в случае очень малых углов наклона  $\theta$  плоскости колеса, то в левых частях уравнений сохранены только первые степени угла  $\theta$  и угловой скорости  $\dot{\theta}$ .

$$M(\dot{v}_{cx_1} - v_{cy'} \dot{\psi}) = X_1 + X_1',$$

$$M(\dot{v}_{cy'} + v_{cx_1} \dot{\psi}) = (Y_1 + Y_1') \cos \theta + (Z_1 + Z_1') \sin \theta,$$

$$M\dot{v}_{cz'} = -(Y_1 + Y_1') \sin \theta + (Z_1 + Z_1') \cos \theta, \quad (6)$$

$$A\ddot{\theta} + B\dot{\varphi}\dot{\psi} + (A - B)\dot{\psi}^2 \theta = -Y_1' R_1 - Z_1' (r \sin \theta - u) - L_x,$$

$$C\ddot{\psi} - B\dot{\varphi}\dot{\theta} = X_1' (r \sin \theta - u) + L_z + L_z',$$

$$B \frac{d}{dt} (\dot{\varphi} - \dot{\psi} \sin \theta) = -X_1' R_1 + L_y + L_y'.$$

Кинематические уравнения имеют вид:

$$v_{cx_1} = (R + r) \dot{\varphi} \quad \text{или} \quad v = R_1 \dot{\varphi},$$

$$v_{cy_1} = (R + r) \dot{\theta} - \left( \frac{du}{dt} + v\gamma \right),$$

$$v_{cz_1} = 0, \quad (7)$$

$$\dot{\psi} - \dot{\varphi} \theta - \left( \frac{d\gamma}{dt} + \frac{d\gamma}{ds} v \right) = 0.$$

Заменяя  $Y_1'$  и  $L_z$  в уравнениях (6) из (4) и (5), получим всего 10 уравнений для определения 10 неизвестных функций:  $x_c, y_c, z_c, \varphi, \theta, \psi, u, \gamma, X_1, Z_1$ .

В работах, посвященных изучению качения колеса, не всегда пишут одинаково уравнения движения <sup>(1)</sup>, хотя все авторы принимают одни и те же предпосылки.

Поступило  
21 V 1948

#### ЦИТИРОВАННАЯ ЛИТЕРАТУРА

<sup>1</sup> Е. А. Чудаков, Качение автомобильного колеса, 1947; Певзнер, Теория устойчивости автомобиля, 1947; Келдыш, Тр. ЦАГИ, № 564 (1945); J. Whyte, J. Aeronautical Sci., 7, No. 2, December (1939); Fromm, Becker, Maruhn, Schwingungen in Automobillenkungen, Berlin, 1931.